

## MĚŘÍTKO 1:1000

$$v=0,015m$$

spojska24-27=569,34  
D=0mm; U=1,784m;  $\alpha=0,19484g$ ;  
V=50km/h; l=52mm.

476,8

477,1

477,3

477

 $y_v = 0,002 \text{ m}$ 
$$\begin{array}{r} 1,845m \\ \underline{dl. 248,217} \\ 157132 \end{array}$$

47/000



$V=50\text{km/h}$ ;  $l=66\text{mm}$ ;  
 $=0\text{mm}$ ;  $l_i=3,145\text{m}$ ;  $\alpha=0,447560\text{g}$ ;

$U=0\text{mm/s}$ ;  $V130=140\text{km/h}$ ;  $V150=150\text{km/h}$ ;  $Vk=160\text{km/h}$ ;  
 $l=55\text{mm}$ ;  $l130=55\text{mm}$ ;  $l150=63\text{mm}$ ;  $lk=71\text{mm}$ ;

D=0mm; Li=73.965m;  $\alpha=1$ ; A3240g,  
V130=140km/h; V150=150km/h; V<sub>k</sub>=160km/h;  
l<sub>k</sub>=57mm; l<sub>130</sub>=57mm; l<sub>150</sub>=65mm; k=74mm;

$\text{Li} = 0,283\text{m}; \alpha = 0,060136\text{g};$   
 $D = 0\text{mm};$

[illegible]

$D=0\text{mm}$ ;  $L_i=34,481\text{m}$ ;  $\alpha=0,423417$ ;  
 $\text{km/h}$ ;  $V130=140\text{km/h}$ ;  $V150=150\text{km/h}$ ;  $V_k=160\text{km/h}$ ;  
 $l=45\text{mm}$ ;  $l130=45\text{mm}$ ;  $l150=52\text{mm}$ ;  $l_k=59\text{mm}$ ;

$V=140\text{km/h}$ ;  $V_{130}=140\text{km/h}$ ;  $V_{150}=150\text{km/h}$ ;  $V_k=160\text{km/h}$ ;  
 $l=95\text{mm}$ ;  $l_{130}=95\text{mm}$ ;  $l_{150}=118\text{mm}$ ;  $l_k=143\text{mm}$ ;  
 $\alpha=80\text{m}$ ;  $\alpha=1230.8-8.8\sqrt{V-130}$ ;  $\alpha_{130}=1230.8-8.8\sqrt{150-130}$ ;  
 $\alpha_{150}=1230.8-8.8\sqrt{160-130}$ ;  $\alpha_k=1230.8-8.8\sqrt{160-130}$ ;  
 $\beta=1.2$ ;  $\beta_{130}=1.2$ ;  $\beta_{150}=1.2$ ;  $\beta_k=1.2$ ;  
 $\gamma=1.2$ ;  $\gamma_{130}=1.2$ ;  $\gamma_{150}=1.2$ ;  $\gamma_k=1.2$ ;  
 $\delta=1.2$ ;  $\delta_{130}=1.2$ ;  $\delta_{150}=1.2$ ;  $\delta_k=1.2$ ;  
 $\epsilon=1.2$ ;  $\epsilon_{130}=1.2$ ;  $\epsilon_{150}=1.2$ ;  $\epsilon_k=1.2$ ;  
 $\zeta=1.2$ ;  $\zeta_{130}=1.2$ ;  $\zeta_{150}=1.2$ ;  $\zeta_k=1.2$ ;  
 $\eta=1.2$ ;  $\eta_{130}=1.2$ ;  $\eta_{150}=1.2$ ;  $\eta_k=1.2$ ;  
 $\theta=1.2$ ;  $\theta_{130}=1.2$ ;  $\theta_{150}=1.2$ ;  $\theta_k=1.2$ ;  
 $\iota=1.2$ ;  $\iota_{130}=1.2$ ;  $\iota_{150}=1.2$ ;  $\iota_k=1.2$ ;  
 $\kappa=1.2$ ;  $\kappa_{130}=1.2$ ;  $\kappa_{150}=1.2$ ;  $\kappa_k=1.2$ ;  
 $\lambda=1.2$ ;  $\lambda_{130}=1.2$ ;  $\lambda_{150}=1.2$ ;  $\lambda_k=1.2$ ;  
 $\mu=1.2$ ;  $\mu_{130}=1.2$ ;  $\mu_{150}=1.2$ ;  $\mu_k=1.2$ ;  
 $\nu=1.2$ ;  $\nu_{130}=1.2$ ;  $\nu_{150}=1.2$ ;  $\nu_k=1.2$ ;  
 $\xi=1.2$ ;  $\xi_{130}=1.2$ ;  $\xi_{150}=1.2$ ;  $\xi_k=1.2$ ;  
 $\omicron=1.2$ ;  $\omicron_{130}=1.2$ ;  $\omicron_{150}=1.2$ ;  $\omicron_k=1.2$ ;  
 $\pi=1.2$ ;  $\pi_{130}=1.2$ ;  $\pi_{150}=1.2$ ;  $\pi_k=1.2$ ;  
 $\rho=1.2$ ;  $\rho_{130}=1.2$ ;  $\rho_{150}=1.2$ ;  $\rho_k=1.2$ ;  
 $\sigma=1.2$ ;  $\sigma_{130}=1.2$ ;  $\sigma_{150}=1.2$ ;  $\sigma_k=1.2$ ;  
 $\tau=1.2$ ;  $\tau_{130}=1.2$ ;  $\tau_{150}=1.2$ ;  $\tau_k=1.2$ ;  
 $\upsilon=1.2$ ;  $\upsilon_{130}=1.2$ ;  $\upsilon_{150}=1.2$ ;  $\upsilon_k=1.2$ ;  
 $\phi=1.2$ ;  $\phi_{130}=1.2$ ;  $\phi_{150}=1.2$ ;  $\phi_k=1.2$ ;  
 $\chi=1.2$ ;  $\chi_{130}=1.2$ ;  $\chi_{150}=1.2$ ;  $\chi_k=1.2$ ;  
 $\psi=1.2$ ;  $\psi_{130}=1.2$ ;  $\psi_{150}=1.2$ ;  $\psi_k=1.2$ ;  
 $\omega=1.2$ ;  $\omega_{130}=1.2$ ;  $\omega_{150}=1.2$ ;  $\omega_k=1.2$ ;  
 $\varphi=1.2$ ;  $\varphi_{130}=1.2$ ;  $\varphi_{150}=1.2$ ;  $\varphi_k=1.2$ ;  
 $\theta=1.2$ ;  $\theta_{130}=1.2$ ;  $\theta_{150}=1.2$ ;  $\theta_k=1.2$ ;  
 $\iota=1.2$ ;  $\iota_{130}=1.2$ ;  $\iota_{150}=1.2$ ;  $\iota_k=1.2$ ;  
 $\kappa=1.2$ ;  $\kappa_{130}=1.2$ ;  $\kappa_{150}=1.2$ ;  $\kappa_k=1.2$ ;  
 $\lambda=1.2$ ;  $\lambda_{130}=1.2$ ;  $\lambda_{150}=1.2$ ;  $\lambda_k=1.2$ ;  
 $\mu=1.2$ ;  $\mu_{130}=1.2$ ;  $\mu_{150}=1.2$ ;  $\mu_k=1.2$ ;  
 $\nu=1.2$ ;  $\nu_{130}=1.2$ ;  $\nu_{150}=1.2$ ;  $\nu_k=1.2$ ;  
 $\xi=1.2$ ;  $\xi_{130}=1.2$ ;  $\xi_{150}=1.2$ ;  $\xi_k=1.2$ ;  
 $\omicron=1.2$ ;  $\omicron_{130}=1.2$ ;  $\omicron_{150}=1.2$ ;  $\omicron_k=1.2$ ;  
 $\pi=1.2$ ;  $\pi_{130}=1.2$ ;  $\pi_{150}=1.2$ ;  $\pi_k=1.2$ ;  
 $\rho=1.2$ ;  $\rho_{130}=1.2$ ;  $\rho_{150}=1.2$ ;  $\rho_k=1.2$ ;  
 $\sigma=1.2$ ;  $\sigma_{130}=1.2$ ;  $\sigma_{150}=1.2$ ;  $\sigma_k=1.2$ ;  
 $\tau=1.2$ ;  $\tau_{130}=1.2$ ;  $\tau_{150}=1.2$ ;  $\tau_k=1.2$ ;  
 $\upsilon=1.2$ ;  $\upsilon_{130}=1.2$ ;  $\upsilon_{150}=1.2$ ;  $\upsilon_k=1.2$ ;  
 $\phi=1.2$ ;  $\phi_{130}=1.2$ ;  $\phi_{150}=1.2$ ;  $\phi_k=1.2$ ;  
 $\chi=1.2$ ;  $\chi_{130}=1.2$ ;  $\chi_{150}=1.2$ ;  $\chi_k=1.2$ ;  
 $\psi=1.2$ ;  $\psi_{130}=1.2$ ;  $\psi_{150}=1.2$ ;  $\psi_k=1.2$ ;  
 $\omega=1.2$ ;  $\omega_{130}=1.2$ ;  $\omega_{150}=1.2$ ;  $\omega_k=1.2$ ;  
 $\varphi=1.2$ ;  $\varphi_{130}=1.2$ ;  $\varphi_{150}=1.2$ ;  $\varphi_k=1.2$ ;  
 $\theta=1.2$ ;  $\theta_{130}=1.2$ ;  $\theta_{150}=1.2$ ;  $\theta_k=1.2$ ;  
 $\iota=1.2$ ;  $\iota_{130}=1.2$ ;  $\iota_{150}=1.2$ ;  $\iota_k=1.2$ ;  
 $\kappa=1.2$ ;  $\kappa_{130}=1.2$ ;  $\kappa_{150}=1.2$ ;  $\kappa_k=1.2$ ;  
 $\lambda=1.2$ ;  $\lambda_{130}=1.2$ ;  $\lambda_{150}=1.2$ ;  $\lambda_k=1.2$ ;  
 $\mu=1.2$ ;  $\mu_{130}=1.2$ ;  $\mu_{150}=1.2$ ;  $\mu_k=1.2$ ;  
 $\nu=1.2$ ;  $\nu_{130}=1.2$ ;  $\nu_{150}=1.2$ ;  $\nu_k=1.2$ ;  
 $\xi=1.2$ ;  $\xi_{130}=1.2$ ;  $\xi_{150}=1.2$ ;  $\xi_k=1.2$ ;  
 $\omicron=1.2$ ;  $\omicron_{130}=1.2$ ;  $\omicron_{150}=1.2$ ;  $\omicron_k=1.2$ ;  
 $\pi=1.2$ ;  $\pi_{130}=1.2$ ;  $\pi_{150}=1.2$ ;  $\pi_k=1.2$ ;  
 $\rho=1.2$ ;  $\rho_{130}=1.2$ ;  $\rho_{150}=1.2$ ;  $\rho_k=1.2$ ;  
 $\sigma=1.2$ ;  $\sigma_{130}=1.2$ ;  $\sigma_{150}=1.2$ ;  $\sigma_k=1.2$ ;  
 $\tau=1.2$ ;  $\tau_{130}=1.2$ ;  $\tau_{150}=1.2$ ;  $\tau_k=1.2$ ;  
 $\upsilon=1.2$ ;  $\upsilon_{130}=1.2$ ;  $\upsilon_{150}=1.2$ ;  $\upsilon_k=1.2$ ;  
 $\phi=1.2$ ;  $\phi_{130}=1.2$ ;  $\phi_{150}=1.2$ ;  $\phi_k=1.2$ ;  
 $\chi=1.2$ ;  $\chi_{130}=1.2$ ;  $\chi_{150}=1.2$ ;  $\chi_k=1.2$ ;  
 $\psi=1.2$ ;  $\psi_{130}=1.2$ ;  $\psi_{150}=1.2$ ;  $\psi_k=1.2$ ;  
 $\omega=1.2$ ;  $\omega_{130}=1.2$ ;  $\omega_{150}=1.2$ ;  $\omega_k=1.2$ ;  
 $\varphi=1.2$ ;  $\varphi_{130}=1.2$ ;  $\varphi_{150}=1.2$ ;  $\varphi_k=1.2$ ;  
 $\theta=1.2$ ;  $\theta_{130}=1.2$ ;  $\theta_{150}=1.2$ ;  $\theta_k=1.2$ ;  
 $\iota=1.2$ ;  $\iota_{130}=1.2$ ;  $\iota_{150}=1.2$ ;  $\iota_k=1.2$ ;  
 $\kappa=1.2$ ;  $\kappa_{130}=1.2$ ;  $\kappa_{150}=1.2$ ;  $\kappa_k=1.2$ ;  
 $\lambda=1.2$ ;  $\lambda_{130}=1.2$ ;  $\lambda_{150}=1.2$ ;  $\lambda_k=1.2$ ;  
 $\mu=1.2$ ;  $\mu_{130}=1.2$ ;  $\mu_{150}=1.2$ ;  $\mu_k=1.2$ ;  
 $\nu=1.2$ ;  $\nu_{130}=1.2$ ;  $\nu_{150}=1.2$ ;  $\nu_k=1.$

$V=140\text{km/h}$ ;  $V_{I30}=140\text{km/h}$ ;  $V_{I50}=150\text{km/h}$ ;  $V_k=160\text{km/h}$ ;  
 $l=95\text{mm}$ ;  $l_{I30}=95\text{mm}$ ;  $l_{I50}=119\text{mm}$ ;  $l_k=144\text{mm}$ ;

1,4

477,5

±0.084%	477.6
dl.449,261m	-1.050%
dl.757,730m	


$$R_v = 18000 \text{ m}$$

$$t_z = 10,207 \text{ m}$$

$$y_v = 0,003 \text{ m}$$

4777

R1.TK=956m

 <p><b>SPRÁVA ŽELEZNIC</b> Správa železnic, železniční a spojovací úřad Václavova 169/1 160 00 Praha 6</p>		<p>Špráva železnic, železniční a spojovací úřad Václavova 169/1 160 00 Praha 6</p>	
<p><b>ITUTACE</b></p>	<p>Úp. projektant Ing. Tomáš Vavruška</p>	<p>Tratový úsek T0 0801 Roudnice nad Labem - Lovosice</p>	
	<p>Projektant Václav Mráz, DiS.</p>		
	<p>Kreslil Václav Mráz, DiS.</p>		
	<p>Kontroloval Jan Kláaver, DiS.</p>		
<p><b>Cyklická obnova trati v úseku Roudnice n.L. - Hroboce</b></p>		<p><b>Zjednodušený projekt</b></p>	
<p>TUDU: 0801.22 km 476,9 - 480,5</p>		<p><b>Řešitel</b> Ing. Libor Vavrečka</p>	
<p><b>Číslo výstupu</b></p>		<p><b>Datum</b> 03/2025</p>	
<p><b>Číslo dokumentace</b> P</p>		<p><b>Druh dokumentace</b> P</p>	
<p><b>Číslo zakázky</b> G90572F59128</p>		<p><b>Metriko</b> 1:1.000</p>	
<p><b>Soutřadnicový systém</b> S-TJSK</p>		<p><b>Soutřadnicový systém</b> S-TJSK</p>	
<p><b>Výškový systém</b> Bpv</p>		<p><b>Výškový systém</b> Bpv</p>	
<p><b>Přiloha</b></p>		<p><b>Přiloha</b></p>	
<p><b>B.1</b></p>		<p><b>B.1</b></p>	